

Methoden des Algorithmen Entwurfes

The Power of Recourse for Online MST and TSP

Felix Ortmann

Universität Hamburg

18. Juli 2017

Gliederung

- 1 Einleitung
- 2 Definitionen
- 3 Online MST mit amortisiertem Budget
- 4 Online MST mit striktem Budget
- 5 Anwendung auf TSP
- 6 Zusammenfassung
- 7 Literatur

Einleitung

„The Power of Recourse for Online MST and TSP“

von Nicole Megow, Martin Skutella, José Verschae und Andreas Wiese

Siam Journal on Computing

[Megow et al., 2016]

Definitionen

- 2 Definitionen
 - MST und TSP
 - Online Problemstellung
 - Einfacher Greedy Algorithmus – online MST
 - Budget

MST und TSP

Graf $G = (V, E)$; G ist vollständig

Minimal Spanning Tree (MST)

- Verbinde alle Knoten
- Azyklisch

Gesucht: kleinste (metrische) Verbindung aller Knoten

Traveling Salesman Problem (TSP)

- Besuche jeden Knoten exakt einmal
- Zyklisch

Gesucht: kürzeste (metrische) Route

MST und TSP

Minimal Spanning Tree (MST)

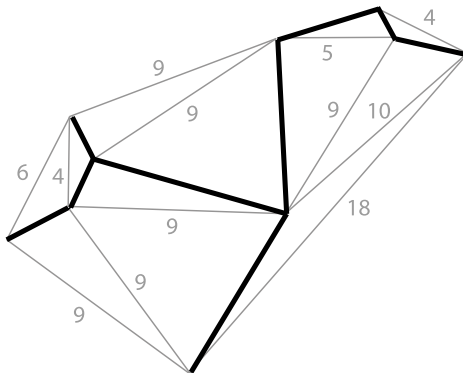


Abbildung: Minimal Spanning Tree¹

¹https://commons.wikimedia.org/wiki/File:Minimum_spanning_tree.svg

MST und TSP

Traveling Salesman Problem (TSP)

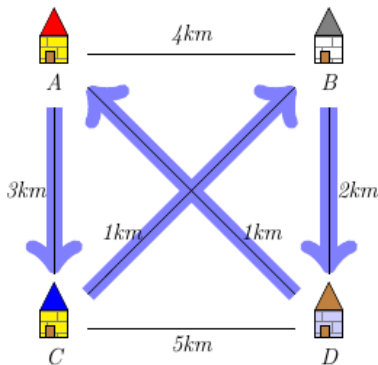


Abbildung: TSP Tour²

²https://commons.wikimedia.org/wiki/File:Tsp_opt.png

Online Problemstellung

„Nach und nach Knoten und zugehörige Kanten aufdecken.

Problemstellung (MST bzw. TSP) in jedem Zug auf Teilgraf möglichst gut bearbeiten.“

- $\sigma = v_0, v_1, \dots$ wobei v_t : *Vertex*
- $\forall s \leq t - 1 : v_t v_s$ Kanten werden zusammen mit Knoten t bekannt
- Kantengewichte erfüllen Dreiecksungleichung (\rightarrow metrisch)
- Iteration t :
 - Teilgraf $G_t = (V_t, E_t)$
 - $V_t = \{v_0, \dots, v_t\}$
 - $E_t = V_t \times V_t \rightarrow$ Graf ist „complete“

Online Ziele

Online MST

- Kanten Teilmenge T_t
- T_t ist MST zu G_t

Online TSP

- Tour durch G_t : Q_t
- Q_t ist TSP Tour auf G_t (\approx minimiert traveling Kosten)

Einfacher Greedy Algorithmus – online MST

Vorherige Iteration: T_{t-1}

Iteration t :

- Decke neuen Knoten auf: v_t
- Kürzeste Verbindungskante g_t zwischen v_t und T_{t-1}
- $T_t = T_{t-1} \cup g_t$
- Kostenreduktion von T_t – „Swaps“:
 - Füge günstige Kante hinzu (\rightarrow Kreis entsteht in Teilbaum)
 - Entferne teuerste Kante aus Kreis
 - Wiederhole ...

Swaps und Recourse

- Swaps \rightsquigarrow optimale Lösung
- Wie viele Swaps...?

Recourse

Recourse bzw. *recourse Budget* – Menge von Kanten, die pro Iteration maximal zur Lösung hinzugefügt werden.

Budget

Iteration t , Budget k

Striktes Budget

$$\forall t \geq 1 : |T_t \setminus T_{t-1}| \leq k$$

Amortisiertes Budget

$$\sum_{s=1}^t |T_s \setminus T_{s-1}| \leq k \cdot t$$

Online MST mit amortisiertem Budget

3 Online MST mit amortisiertem Budget

- Zielsetzung
- Freezing Rules
- Algorithmus Sequence Freeze
- Competitive Analysis
- Rückblick

Zielsetzung

Ziel

Online Algorithmus für MST mit folgenden Eigenschaften ($\epsilon > 0$):
(Theorem 2)

- $(1 + \epsilon)$ -competitive
- Amortisiertes Budget $O(\frac{1}{\epsilon} \log \frac{1}{\epsilon})$

Abschluss

Präsentierter Algorithmus liefert best mögliches Ergebnis, logarithmisch gemessen (Theorem 1)

Online MST mit amortisiertem Budget

Theorem 1 (Lower Bound)

Jeder $(1 + \epsilon)$ -competitive Algorithmus für das online MST Problem benötigt ein amortisiertes recourse Budget von $\Omega(\frac{1}{\epsilon})$

Beweis siehe [Megow et al., 2016]

Theorem 2 (Upper Bound)

Es existiert ein $(1 + \epsilon)$ -competitiver Algorithmus für das online MST Problem mit einem amortisierten recourse Budget von $O(\frac{1}{\epsilon} \log \frac{1}{\epsilon})$

Freezing Rules

Iteration t :

- OPT_t^{max} : bestes (von unserem Algorithmus) erreichbares Ergebnis
- $\ell(t)$: Iteration mit den meisten Swaps (vor dieser Iteration)
- $\ell(t) \leq (t - 1)$. $OPT_{\ell(t)}^{max} \leq \epsilon \cdot OPT_t^{max}$
- Greedy Kante g_s^0 : In Iteration s greedy hinzugefügt
- Swap: g_s^1 sei Kante, die g_s^0 ersetzt
- Wurde in später ggf. gewapped, momentane Ersetzung: $g_s^{i(s)}$

Freezing Rules

Rule 1

Freeze Sequenz $(g_s^0, \dots, g_s^{i(s)})$ gwd. $s \leq \ell(t)$

Rule 2

Freeze Kante wenn der Kostengewinn kleiner als $\epsilon OPT_t^{max} / (t - \ell(t))$ ist.

Freezing Rules In Worten

Finde Balance zwischen Anzahl Swaps ($\leq k$) und Nutzen

Rule 1

Verhindert das Swappen von Kanten, die zu einem Subgraphen gehören, der an den Gesamtkosten des MST keinen großen Einfluss hat.

⇒ Wurde vor / während der größten Iteration $\ell(t)$ gewapped. „Den besten bisherigen Subgraphen (und alles was schon davor gefroren war) fassen wir nicht mehr an.“

Rule 2

Verhindert das Entfernen von Kanten deren Kosten kleiner als das Mittel seit der größten Iteration sind.

⇒ „Kein Swap, wenn direkter Nutzen zu gering“.

Algorithmus Sequence Freeze

Wie simple Greedy Algorithmus mit Einschränkungen

$$T_0 = \emptyset$$

Iteration t : $T_t = T_{t-1} \cup \{\text{„günstigste neue Kante“}\}$

Betrachte Kanten $(f, h) \in (E_t \setminus T_t) \times T_t$

Swap wenn nur, wenn...:

- $(T_t \cup \{f\}) \setminus \{h\}$ bleibt ein Tree
- ❶ $c(h) > (1 + \epsilon) \cdot c(f)$
- ❷ $h = g_s^{i(s)}$ für ein $s \geq \ell(t) + 1$ (nicht gefroren durch *Rule 1*)
- ❸ $c(h) > \epsilon \frac{OPT_t^{max}}{t - \ell(t)}$ (nicht gefroren durch *Rule 2*)

Competitive Analysis (Skizze)

Competitiveness des Algorithmus im Vergleich zu OPT

$(1 + \epsilon)$ -competitive

- *Cond. 1 & Cond. 3* – Kosten steigen maximal um $(1 + 3\epsilon)$ pro Iteration $\rightarrow (1 + O(\epsilon))$ -competitive
- *Cond. 2* – Durch Weglassen „kostengünstiger“ Swaps wird die Gesamtlösung im Vergleich zu OPT_t maximal $O(\epsilon OPT_t)$ schlechter
- Partitioniere Graf $T = T_{new} \cup T_{old}$ – vor / nach längster Iteration
- $T_{old} := \{g_1^{i(1)}, \dots, g_{\ell(t)}^{i(\ell(t))}\}$
- $T_{new} := \{g_{\ell(t)+1}^{i(\ell(t)+1)}, \dots, g_t^{i(t)}\}$

Beweise Bounds für Partitionen

Competitive Analysis (Skizze)

Amortisierter Upper Bound für Budget

- $k_q := |T_q \setminus T_{q-1}|$: benutztes Budget in Iteration q
- $D_\epsilon \in O(\frac{1}{\epsilon} \log \frac{1}{\epsilon})$

Zeige $\sum_{q=1}^t k_q \leq D_\epsilon \cdot t$

1 Upper Bound auf Swap Sequenz Länge

Cond. 1 – Nur Swap wenn Kostengewinn $> (1 + \epsilon)$:

Maximale Swapanzahl $\implies \log_{1+\epsilon} c(g_s^0) - \log_{1+\epsilon} c(g_s^{i(s)-1}) + 1$

2 Lower Bound auf Swap Kosten

Cond. 3 – Nur Swap wenn Kosten d. zu entfernenden Kante Threshold übersteigt

Online MST mit amortisiertem Budget

Ergebnis

Online Algorithmus für MST mit folgenden bewiesenen Eigenschaften:

- $(1 + \epsilon)$ -competitive
- Amortisiertes Budget $O(\frac{1}{\epsilon} \log \frac{1}{\epsilon})$

Da jeder online Algorithmus für MST mit obigen Eigenschaften mindestens ein Budget von $\Omega(\frac{1}{\epsilon})$ benötigt (vgl. Theorem 1), liefert *Sequence Freeze* das (logarithmisch) bestmögliche online Ergebnis.

Online MST mit striktem Budget

4 Online MST mit striktem Budget

Online MST mit striktem Budget

Kann ein striktes Budget besser sein? Insbesondere besser als 2-competitive?

Gegenbeispiel

- Vollst. Graph, Knoten v_0, \dots, v_n
- $\forall t < n : c(v_t, v_n) = 1$
- $\forall s, t < n : c(v_s, v_t) = 2$

\implies MST ist ein Stern um den letzten Knoten n

Alle Iterationen $t < n$: T_t enthält nur Kanten mit Kosten 2

Bei fixem Budget k : T_n enthält exakt $n - k$ Kanten der Kosten 2

\implies Competitive Ratio $2 - k/n$ ($> 2 - \epsilon$) bei großen n

Anwendung auf TSP

- 5 Anwendung auf TSP
 - Shortcutting (Beispiel)
 - Motivation: Unvorhersehbare Touren
 - Robuste TSP Touren
 - Algorithmus: Robust Tour Shortcut
 - Algorithmus: Robust Walk Update
 - Competitive Analysis

Shortcutting (Beispiel)

Eulerian Walk

- Besuche jede *Kante* genau einmal
- Sei $(2 \cdot T)$ Multigraf zu T – jede Kante verdoppelt
 - ⇒ Jeder Knoten hat geraden Grad
 - ⇒ Eulerian Walk möglich
- Bilde Eulerian Walk
- Notiere *Knotenreihenfolge*
- Streiche alle mehrfach Vorkommnisse (*Shortcut*)
 - ⇒ Traveling Salesman Tour

Shortcutting (Beispiel)

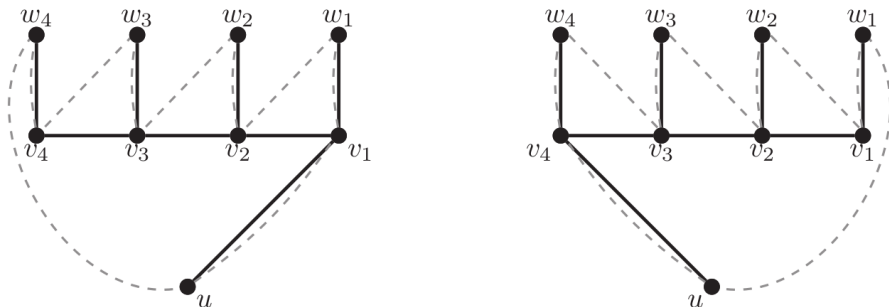


Abbildung: Tree (schwarz), Shortcut Tour (gestrichelt) [Megow et al., 2016]

$W = u, v_1, w_1, \bar{v}_1, v_2, w_2, \bar{v}_2, v_3, w_3, \bar{v}_3, v_4, w_4, \bar{v}_4, \bar{\bar{v}}_3, \bar{\bar{v}}_2, \bar{\bar{v}}_1, \bar{u}$

Tour = $u, v_1, w_1, v_2, w_2, v_3, w_3, v_4, w_4, (\bar{u})$

Motivation: Unvorhersehbare Touren

- Spanning Trees R, R'
- $R' = (R \cup \{f\}) \setminus \{g\}, f \notin R \wedge g \in R$
 \implies „ein Swap Unterschied“
- Sehr ähnliche Bäume führen zu ggf. sehr unterschiedlichen TSP Touren
- Tour zu R' (rechts): hat nie Knotenfolgen der Form (w_i, v_{i+1})
 \implies Bei steigender Knotenanzahl zunehmend großer Unterschied in Tour

Robuste TSP Touren

Theorem 3 (MST zu TSP)

Gegeben eine Reihe von metrischen Grafen G_0, \dots, G_t, \dots mit $G_t = (V_t, E_t) \wedge V_t = \{v_0, \dots, v_t\}$. T_t is Spanning Tree zu G_t in Iteration t .

Es existiert ein online Algorithmus, der zu jedem Teilgraf eine TSP Tour ausgibt (Q_0, \dots, Q_t, \dots) , sodass

- $c(Q_t) \leq 2 \cdot c(T_t)$
- $|Q_t \setminus Q_{t-1}| \leq 4 \cdot |T_t \setminus T_{t-1}|$

Beweis benötigt verbessertes Shortcutting

Robuste TSP Touren

Idee: „Unterschiede zwischen Iterationen $(t - 1)$ und t messbar machen“

Momentan ist bereits messbar, wie zwei Spanning Trees (R, R') sich nach einem Swap unterscheiden (\rightarrow eine Kante)
(mehrere Swaps deterministisch)

Vorraussetzungen für Beweis von Theorem 3

- Deterministische Prozedur um eine TSP Tour Q von einem Eulerian Walk W und einem Spanning Tree R zu erzeugen \rightarrow Robustes *Shortcutting*
- Deterministische Prozedur um aus zwei Spanning Trees (R, R') , die sich in einer Kante unterscheiden, sowie einem Eulerian Walk W auf $(2 \cdot R)$ einen Eulerian Walk W' auf $(2 \cdot R')$ zu erzeugen

Algorithmus: Robust Tour Shortcut

Input:

Baum R , Eulerian Walk $W = x_1, \dots, x_r$ auf $2 \cdot R$, Funktion $I : \{x_1, \dots, x_r\} \rightarrow \{0, 1\}$ (Selektionsfunktion um Nodes nur einmal zu besuchen (vgl. $2 \cdot R$))

- Erzeuge Walk der Form: $x_{\ell_1}, x_{\ell_2}, \dots, x_{\ell_{|V|}}$, sodass $\forall i < j : \ell_i < \ell_j \wedge \forall i : I(x_{\ell_i}) = 1$
- Rückgabe: $Q := \{x_{\ell_1}, \dots, x_{\ell_{|V|}}, x_{\ell_1}\}$

Beobachtung:

Die zurückgegebene Tour Q hat höchstens Kosten von $2 \cdot c(R)$ (unabhängig von I)

Algorithmus: Robust Walk Update (Beispiel)

Ziel:

Update $W \rightarrow W'$ bei Update von Baum $R \rightarrow R'$

- $R' = (R \cup \{f\}) \setminus \{g\}$ wobei $f = st \wedge g = vw$
- $R \setminus \{g\} \implies 2$ verbundene Komponenten (C_1, C_2)
- o.B.d.A: $x_1, v, s \in C_1 \wedge t, w \in C_2$
- $W = W_1, v, w, W_2, \bar{w}, \bar{v}, W'_1$

Start in C_1 (Teil W_1), via vw zu C_2 (dort vollständig ablaufen, Teil W_2), via $\bar{w}\bar{v}$ zurück zu C_1 , dort restliche Knoten ablaufen (Teil W'_1). o.B.d.A $s \in C_1 \wedge t \in C_2$.

Algorithmus: Robust Walk Update (Beispiel)

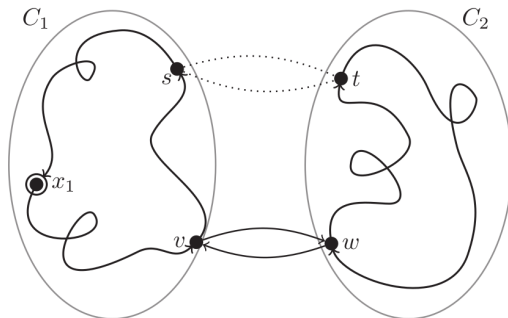


Abbildung: Dekomposition eines Eulerian Walks W [Megow et al., 2016]

$$W = W_1, v, w, W_2, \bar{w}, \bar{v}, W'_1$$

$$W = W(x_1, v), v, W(w, t), W(t, w), \bar{w}, W(v, s), W(s, x_1)$$

$$W' = W(x_1, v), W(v, s), \bar{s}, W(t, w), W(w, t), \bar{t}, W(s, x_1)$$

Algorithmus: Robust Walk Update

Input:

Baum R (auf Graf $G = (V, E)$), Eulerian Walk $W = x_1, \dots, x_r$ auf $2 \cdot R$,
 Funktion $I : \{x_1, \dots, x_r\} \rightarrow \{0, 1\}$ (Selektionsfunktion um Nodes nur einmal
 zu besuchen), ein Baum $R' = (R \cup \{f\}) \setminus \{g\}$ wobei
 $f = st \notin R \wedge g = vw \in R$

- Zerlege W in Teil-Walks:
 $W = W(x_1, v), v, W(w, t), W(t, w), \bar{w}, W(v, s), W(s, x_1)$
 (Falls nicht möglich, drehe Walk um)
- Rückgabe: $W' = W(x_1, v), W(v, s), \bar{s}, W(t, w), W(w, t), \bar{t}, W(s, x_1)$
- „Patch“ Selektionsfunktion I : $I(\bar{t}) = I(\bar{s}) = 0$. Falls $I(v) = 1$ setze
 $I(x) = 1$ (x ist erster Knoten in $W(v, s)$). Gleiches für $I(w)$ bzw.
 $W(w, t)$.

Competitive Analysis (Skizze)

Zusammenreihung der Algorithmen

- Erzeuge Spanning Tree R zu Graf G mit Algorithmus *Sequence Freeze*
- Erzeuge Eulerian Walk W auf Multigraf $2 \cdot R$
- Erzeuge Tour Q durch G mit Algorithmus *Robus Tour Shortcut*
- Modifiziere (M)ST $\rightarrow R'$
- *Update* Eulerian Walk $W \rightarrow W'$ mit Algorithmus *Robust Walk Update*
- Nutze erneut *Robust Tour Shortcut*: $W' \xrightarrow{\text{neueTSPTour}} Q'$

Beobachtung: Die Eulerian Walks sind sehr ähnlich, bis auf wenige Kanten
 \rightarrow die TSP Touren Q und Q' sind sehr ähnlich.

Competitive Analysis (Skizze)

Zeige: $|Q' \setminus Q| \leq 4$

Fallunterscheidungen

Argumentation über die Dekomposition des Walks W und das Update der Selektionsfunktion I . Betrachte 4 Fälle in Walk W' :

- $W(x_1, v) \rightarrow W(v, s)$
- $W(v, s) \rightarrow W(t, w)$
- $W(t, w) \rightarrow W(w, t)$
- $W(w, t) \rightarrow W(s, x_1)$

Zusammenfassung

6 Zusammenfassung

Zusammenfassung

- Standard online MST: Beste bekannte competitive Ratio $\Theta \log n$
- Neue Erkenntnis mit [Megow et al., 2016]:
Recourse verbessert die competitive Ratio zu $(1 + \epsilon)$ (amortisiert)
- Verändertes Shortcutting Verfahren
- Online MST $\xrightarrow{\text{det. Verfahren}}$ online TSP
Bewiesene Upper Bounds:
 - Erhöht competitive Ratio um 2
 - Erhöht Budget um 4
- Online TSP $(2 + \epsilon)$ -competitive mit amortisiertem Budget $O(\frac{1}{\epsilon} \log \frac{1}{\epsilon})$

Literatur

7 Literatur



Megow, N., Skutella, M., Verschae, J., and Wiese, A. (2016).

The Power of Recourse for Online MST and TSP.

SIAM Journal on Computing, 45(3):859–880.